

УДК 550.8.01

А.С. Волкова, С.Н. Кривощеков

Пермский государственный технический университет

ВЫБОР ПРИОРИТЕТНЫХ НАПРАВЛЕНИЙ РАЗВИТИЯ РЕСУРСНОЙ БАЗЫ УГЛЕВОДОРОДОВ СОЛИКАМСКОЙ ДЕПРЕССИИ С ПРИМЕНЕНИЕМ ВЕРОЯТНОСТЬ- СТАТИСТИЧЕСКИХ МЕТОДОВ

Нефтегазоносность Соликамской депрессии имеет зональный характер, который обусловлен особенностями ее геологического строения: на ее территории в позднефранско-фаменское время сформировались тектоно-седиментационные поднятия, а в пермское время – соляная толща. Так как ее площадь в настоящее время является достаточно хорошо изученной, и соответственно накоплен большой объем информации, поэтому возможно применение вероятностно-статистических методов для определения наиболее перспективных в отношении нефтегазоносности участков.

Пермский край – старый нефтедобывающий регион, поэтому в настоящее время развития ресурсной базы углеводородов является насущной задачей. В этом отношении наиболее перспективной является территория Соликамской депрессии, так как извлекаемые ресурсы нефти категории С₃ лишь в ее центральной части оцениваются более чем 50 млн т. В данной работе проводится оценка нефтегазоносности Соликамской депрессии с помощью построения вероятностно-статистических моделей и определяются перспективные участки для проведения геологого-разведочных работ.

Соликамская депрессия расположена в северной части Пермского края и протягивается в меридиональном направлении с севера на юг. Она представляет собой крупную наложенную отрицательную структуру с размерами 230×(60–80) км, сформировавшуюся в раннепермское время. Особенностью Соликамской депрессии является наличие Верхнекамского месторождения калийно-магниевых солей (ВКМКС), приуроченного к ее центральной части.

Нефтегазоносность Соликамской депрессии в первую очередь обусловлена распространением Камско-Кинельской системы прогибов (ККСП) и влиянием соляной тектоники Верхнекамского месторождения. На исследуемой территории выделяется Явинско-Вишерский прогиб, ограниченный

тектоно-седиментационными выступами: Чердынским – на северо-западе, Гежским – на северо-востоке, Уньвинским и Березниковским – в центре. В пределах этих поднятий ярко выражены позднефранско-фаменские, преимущественно высокоамплитудные, органогенные постройки. Структуры облекания над ними и послужили ловушками для скоплений углеводородов. Соляные породы создали благоприятные геодинамические и термобарические условия для формирования и сохранения залежей нефти. В процессе своего формирования в раннепермское время соляная толща, погрузившись на определенные глубины в область критических температур, подверглась преобразованию и приобрела свойства надежной покрышки.

По Соликамской депрессии накоплен большой объем информации о геологическом строении и нефтегазоносности, поэтому применение вероятностно-статистических методов прогноза является обоснованным и эффективным. Была собрана база данных по всем структурам Соликамской депрессии, бывшим в бурении, из которых 55 оказалось нефтяными и 35 – пустыми.

При прогнозе нефтегазоносности для построения вероятностно-статистических моделей для всей территории Соликамской депрессии использовались критерии нефтегазоносности, которые были условно разделены на региональные, зональные и локальные.

Региональные критерии нефтегазоносности: расстояние от центра структуры до осевой линии депрессионной части ККСП ($L_{\text{ККСП}}$); расстояние от центра структуры до ближайшего разлома по фундаменту ($L_{\text{разл}}$); расстояние от центра структуры до ближайшего неотектонического разлома ($L_{\text{нео}}$); угол длинной оси структуры к осевой линии депрессионной части ККСП ($Y_{\text{ККСП}}$); угол длинной оси структуры к ближайшему разлому по фундаменту ($Y_{\text{разл}}$); коэффициент неотектонической активности ($K_{\text{н.а}}$); абсолютная отметка залегания фундамента (AO_{ϕ}); абсолютная отметка рельефа (AO_p); мощность осадочного чехла (m_o).

По этим критериям с помощью методов статистики были определены интервалы распределения, средние значения и критерий Стьюдента, который характеризует различие в выборках двух классов – нефтяных и пустых структур (табл. 1).

Таблица 1

Статистические характеристики региональных критериев

Показатель	Структуры*		<i>t</i> -критерий**
	нефтяные	пустые	
$L_{\text{ККСП}}$, м	<u>38937,1±18912,3</u>	<u>48167,2±22990,7</u>	<u>-2,07</u>
	9714,5–81267,7	15687,0–82364,4	0,041
$L_{\text{разл.}}$, м	<u>3941,16±2888,52</u>	<u>5086,61±3016,83</u>	<u>-1,80</u>
	145,17–11279,31	274,11–12226,35	0,075
L_{neo} , м	<u>1366,97±1117,66</u>	<u>1308,92±1108,15</u>	<u>0,24</u>
	58,82–4395,29	3,83–4266,36	0,810
$\Upsilon_{\text{ККСП}}$, град.	<u>189,25±104,56</u>	<u>181,29±91,16</u>	<u>0,37</u>
	3,0–360,0	4,0–332,0	0,712
$\Upsilon_{\text{разл.}}$, град.	<u>189,73±117,74</u>	<u>139,40±101,63</u>	<u>-2,08</u>
	7,0–434,0	3,0–406,0	0,040
$K_{\text{на}}$, усл.ед.	<u>8,89±1,11</u>	<u>9,36±0,96</u>	<u>-2,04</u>
	7,04–11,81	7,63–11,21	0,045
AO_{ϕ} , м	<u>-4611,78±550,83</u>	<u>-4576,83±642,07</u>	<u>-0,28</u>
	-6425–(-3515)	-6037–(-3597)	0,784
AO_p , м	<u>163,09±27,61</u>	<u>169,14±29,24</u>	<u>-0,99</u>
	120–220	120–220	0,325
m_o , м	<u>4774,87±559,05</u>	<u>4745,97±650,06</u>	<u>0,22</u>
	3715,0–6625,0	3737,0–6237,0	0,823

* Здесь и далее в числителе: среднее значение ± стандартное отклонение; в знаменателе – размах значений. ** Курсивом выделен значимый *t*-критерий.

По данным таблицы видно, что для нефтяных структур характерно меньшее расстояние до Камско-Кинельской системы прогибов, до региональных разломов по фундаменту, меньший коэффициент неотектонической активности, чем для пустых структур. Также значимым является угол к разлому по фундаменту, который больше для нефтяных структур. По остальным критериям классы структур не различаются.

В качестве зональных критериев нефтегазоносности использовались следующие параметры: мощность тульской карбонатной покрышки ($\Pi_{\text{тн}}$); абсолютные отметки залегания кровли отражающих горизонтов (AO_{Dt} , AO_{D3} , AO_{C1v} , AO_{C2b} , AO_{C2vr} , AO_{P1}); мощности нефтегазоносных комплексов (m_{Dt} , m_{D3} , m_{C1v} , m_{C2b} , m_{C2vr} , m_{P1}). Полученные интервалы распределения зональных параметров представлены в табл. 2.

Таблица 2

Статистические характеристики зональных критериев

Показатель	Структуры		<i>t</i> -критерий <i>p</i>
	нефтяные	пустые	
$\Pi_{\text{тл}}$, м	11.07 ± 7.73 0,22–36,01	7.67 ± 4.70 0,0–16,67	1.60 0,115
m_{Dt} , м	36.82 ± 21.23 8,90–82,90	34.88 ± 24.09 8,0–92,0	0.33 0,744
AO_{Dt} , м	-2223.9 ± 357.5 $-2688.5 - (-1618.9)$	-2017.5 ± 393.2 $-2901.3 - (-1567.2)$	-2.10 0,040
m_{D3} , м	403.67 ± 138.67 55,80–608,70	305.81 ± 145.07 7,0–471,90	3.15 0,002
AO_{D3} , м	-1840.35 ± 286.03 $-2219.6 - (-1163.0)$	-1737.29 ± 373.43 $-2499.5 - (-1181.7)$	-1.45 0,149
m_{C1v} , м	131.68 ± 76.64 2,0–370,80	155.96 ± 149.19 5,0–773,80	-0.99 0,320
AO_{C1v} , м	-1804.78 ± 273.56 $-2147.0 - (-1161.0)$	-1693.30 ± 347.48 $-2380.6 - (-1127.7)$	-1.67 0,099
m_{C2b} , м	220.04 ± 79.80 69,0–397,60	232.48 ± 108.00 54,70–400,0	-0.62 0,539
AO_{C2b} , м	-1487.0 ± 279.03 $-1803.0 - (-841.20)$	-1354.0 ± 351.54 $-2010.70 - (-831.70)$	-1.96 0,054
m_{C2vr} , м	233.33 ± 26.17 146,0–293,50	228.54 ± 38.03 71,0–304,60	0.70 0,487
AO_{C2vr} , м	-1417.01 ± 277.76 $-1735.0 - (-774.30)$	-1283.98 ± 350.03 $-1934.80 - (-763.70)$	-1.97 0,052
m_{P1} , м	441.55 ± 82.33 319,90–655,90	455.05 ± 130.99 268,0–750,90	-0.59 0,556
AO_{P1} , м	-804.59 ± 235.02 $-1114.20 - (-281.0)$	-647.81 ± 260.24 $-1175.30 - (-167.70)$	-2.91 0,04

Здесь видно, что по всем отражающим горизонтам отмечается более глубокое залегание для нефтяных структур, чем для пустых. Мощности для пустых и нефтяных структур не различаются, кроме мощности верхнедевонско-турнейского комплекса, к которому приурочены ловушки массивного типа, что обусловлено развитием высокоамплитудных рифогенных построек в это время.

Локальные критерии нефтегазоносности: площадь структуры по совмещенному контуру (S_k); длины длинной и короткой осей структуры, их соотношение ($L_{\text{дл}}, L_k, K$); амплитуды структур по кровлям отражающих горизонтов ($A_{\text{Dt}}, A_{\text{D3}}, A_{\text{C1v}}, A_{\text{C2b}}, A_{\text{C2vr}}, A_{\text{P1}}$); площади структур по кровлям отражающих горизонтов ($S_{\text{Dt}}, S_{\text{D3}}, S_{\text{C1v}}, S_{\text{C2b}}, S_{\text{C2vr}}, S_{\text{P1}}$); интенсивности структур по отражающим горизонтам ($I_{\text{Dt}}, I_{\text{D3}}, I_{\text{C1v}}, I_{\text{C2b}}, I_{\text{C2vr}}, I_{\text{P1}}$).

Интервалы распределения, средние значения и критерии Стьюдента по локальным характеристикам представлены в табл. 3.

Таблица 3

Статистические характеристики локальных критериев

Показатель	Структуры		<i>t</i> -критерий <i>p</i>
	нефтяные	пустые	
$S_k, \text{км}^2$	$9,91 \pm 11,27$ 0,27–57,35	$4,14 \pm 2,01$ 0,90–8,77	$2,99$ 0,004
$L_{\text{дл}}, \text{м}$	$3962,21 \pm 2303,89$ 849,46–10418,39	$3000,64 \pm 917,46$ 1144,61–4839,70	$2,35$ 0,021
$L_k, \text{м}$	$2435,01 \pm 1533,47$ 397,99–7448,08	$1691,22 \pm 424,50$ 996,30–2835,58	$2,80$ 0,006
$K, \text{д.е.}$	$1,73 \pm 0,52$ 1,07–3,15	$1,81 \pm 0,51$ 1,06–3,34	$-0,66$ 0,510
$A_{\text{Dt}}, \text{м}$	$21,33 \pm 13,57$ 8,0–40,0	$25,12 \pm 22,43$ 7,0–100,0	$-0,39$ 0,704
$S_{\text{Dt}}, \text{км}^2$	$9,50 \pm 8,55$ 2,60–26,20	$9,98 \pm 10,41$ 2,20–40,0	$-0,10$ 0,920
$I_{\text{Dt}}, \text{м/км}$	$7,02 \pm 2,49$ 4,91–11,59	$9,03 \pm 6,03$ 3,16–20,87	$-0,78$ 0,441
$A_{\text{D3}}, \text{м}$	$81,77 \pm 38,98$ 8,0–150,0	$33,44 \pm 22,72$ 7,0–100,0	$6,47$ 0,000
$S_{\text{D3}}, \text{км}^2$	$17,66 \pm 17,11$ 1,40–71,30	$9,55 \pm 9,03$ 2,20–40,0	$2,52$ 0,014
$I_{\text{D3}}, \text{м/км}$	$23,42 \pm 13,00$ 4,91–54,91	$12,95 \pm 9,38$ 3,02–41,83	$4,00$ 0,000
$A_{\text{C1v}}, \text{м}$	$77,63 \pm 38,91$ 8,0–150,0	$34,26 \pm 22,67$ 7,0–100,0	$5,82$ 0,000
$S_{\text{C1v}}, \text{км}^2$	$18,59 \pm 28,90$ 0,50–192,50	$9,53 \pm 9,04$ 2,20–40,0	$1,76$ 0,082
$I_{\text{C1v}}, \text{м/км}$	$23,04 \pm 12,62$ 4,91–56,57	$13,20 \pm 9,21$ 3,0–40,41	$3,86$ 0,000
$A_{\text{C2b}}, \text{м}$	$61,88 \pm 31,66$ 8,0–120,0	$27,65 \pm 20,12$ 3,0–100,0	$5,53$ 0,000
$S_{\text{C2b}}, \text{км}^2$	$17,99 \pm 27,92$ 1,40–185,0	$8,63 \pm 8,88$ 2,10–40,0	$1,88$ 0,063
$I_{\text{C2b}}, \text{м/км}$	$18,34 \pm 10,01$ 2,65–48,18	$10,94 \pm 7,16$ 1,34–29,88	$3,69$ 0,000
$A_{\text{C2vr}}, \text{м}$	$49,04 \pm 26,21$ 8,0–120,0	$25,33 \pm 21,10$ 2,0–100,0	$4,29$ 0,000
$S_{\text{C2vr}}, \text{км}^2$	$16,36 \pm 26,92$ 1,40–180,0	$7,73 \pm 8,62$ 2,0–40,0	$1,78$ 0,080
$I_{\text{C2vr}}, \text{м/км}$	$15,49 \pm 8,34$ 2,65–37,95	$11,30 \pm 10,66$ 1,15–57,97	$1,96$ 0,054
$A_{\text{P1}}, \text{м}$	$34,66 \pm 23,98$ 7,0–130,0	$22,20 \pm 21,48$ 5,0–100,0	$2,08$ 0,042
$S_{\text{P1}}, \text{км}^2$	$11,03 \pm 10,46$ 1,20–52,50	$7,81 \pm 9,32$ 0,30–40,0	$1,24$ 0,221
$I_{\text{P1}}, \text{м/км}$	$4,20 \pm 2,91$ 0,85–15,76	$2,69 \pm 2,61$ 0,61–12,13	$2,08$ 0,042

Анализируя табл. 3, можно сказать, что средние площади нефтяных структур превышают средние площади пустых структур более чем в 2 раза. Также для нефтяных структур характерны большие значения длин осей. Соотношение длин осей роли не играет. В целом по всем отражающим горизонтам амплитуды, площади и интенсивности для нефтяных структур больше, чем для пустых структур. Достаточно много показателей имеют значимый *t*-критерий.

Далее с помощью применения пошагового дискриминантного и регрессионного анализов были построены уравнения для определения вероятности нефтегазоносности по региональным, зональным и локальным показателям:

$$P_{\text{пер}} = 1,3660 - 4,64 \cdot 10^{-6} L_{\text{ККСП}} + 7,48 \cdot 10^{-4} Y_{\text{разл}} - 7,63 \cdot 10^{-2} K_{\text{н.а}} + 3,27 \cdot 10^{-6} L_{\text{нео}}, \\ F_p > F_t; R = 0,991; p = 0,000;$$

$$P_{\text{зон}} = 0,3481 + 2,18 \cdot 10^{-3} m_{\text{D3}} + 1,59 \cdot 10^{-3} m_{\text{C2b}} + 2,13 \cdot 10^{-3} AO_{\text{D3}} + \\ + 1,21 \cdot 10^{-2} Птл - 1,99 \cdot 10^{-3} AO_{\text{C2vr}}, F_p > F_t; R = 0,88; p = 0,000;$$

$$P_{\text{лок}} = 0,0341 + 4,41 \cdot 10^{-3} A_{\text{D3}} + 1,01 \cdot 10^{-2} S_k + 2,71 \cdot 10^{-3} A_{\text{C1v}}, \\ F_p > F_t; R = 0,98; p = 0,000.$$

Показатели входят в модель в порядке их значимости. Все построенные уравнения являются статистически значимыми и имеют высокий коэффициент корреляции.

Также было построено уравнение комплексной вероятности нефтеносности, которое имеет следующий вид:

$$P_{\text{комп}} = -0,222 + 08606 P_{\text{лок}} + 0,4841 P_{\text{пер}} + 0,0785 P_{\text{зон}}, \\ F_p > F_t; R = 0,91; p = 0,000.$$

На основе полученной модели были определены комплексные вероятности нефтегазоносности для структур Соликамской депрессии и построена схема распределения вероятности (рисунок). Здесь видно, что наиболее перспективная зона выделяется в центральной части Соликамской депрессии, приуроченной к Верхнекамскому месторождению калийно-магниевых солей.

По построенным моделям были вычислены комплексные вероятности нефтегазоносности для подготовленных структур Соликамской депрессии и проведено их ранжирование (табл. 4).

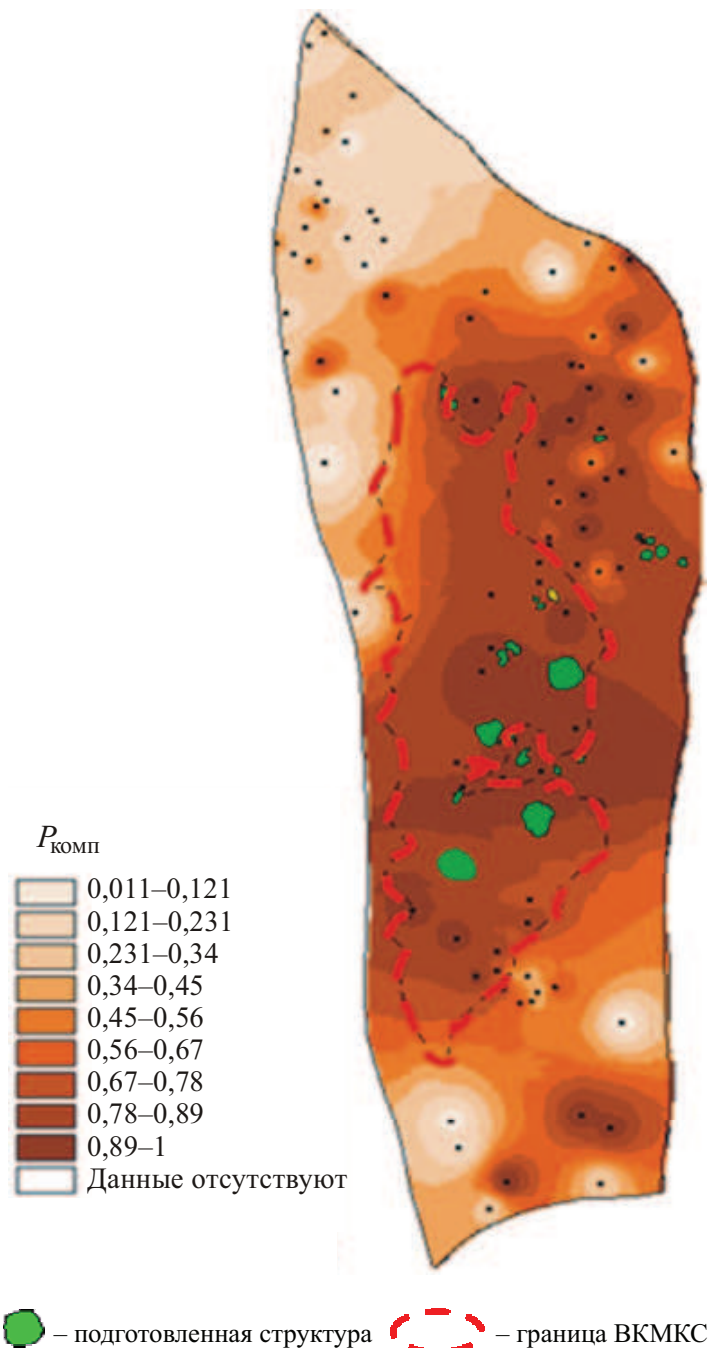


Рис. Схема распределения вероятности нефтегазоносности на территории Соликамской депрессии

Таблица 4

Комплексные вероятности подготовленных структур

Название структуры	$P_{\text{комп}}$	Название структуры	$P_{\text{комп}}$
Ростовицкая	0,998	Брусничная	0,519
Зырянская	0,996	Восточно-Пашковская	0,515
Легчимская	0,993	Новологовская	0,462
Пашковская	0,857	Аристовская С	0,437
Долгая	0,845	Восточно-Бельская	0,412
Западно-Долгинская	0,832	Клестовская	0,389
Профильная	0,815	Южно-Жилинская	0,361
Восточно-Долгинская	0,760	Аристовская Ю	0,346
Большесимская	0,723	Западно-Озерная С	0,345
Голухинская	0,571	Западно-Озерная Ю	0,345
Северо-Чашкинская	0,551		

По данным табл. 4 видно, что наиболее перспективными в отношении нефтегазоносности являются Ростовицкая, Зырянская, Легчимская и Пашковская структуры. Необходимо отметить, что эти структуры находятся в пределах распространения калийно-магниевых солей.

Таким образом, статистический анализ показал, что наибольшим успехом будут обладать подготовленные структуры, приуроченные к Верхнекамскому месторождению солей. Но при этом следует отметить, что бурение на этих структурах будет возможным лишь при соблюдении определенных условий по охране солей.

Получено 27.04.2010